

Fig. 1

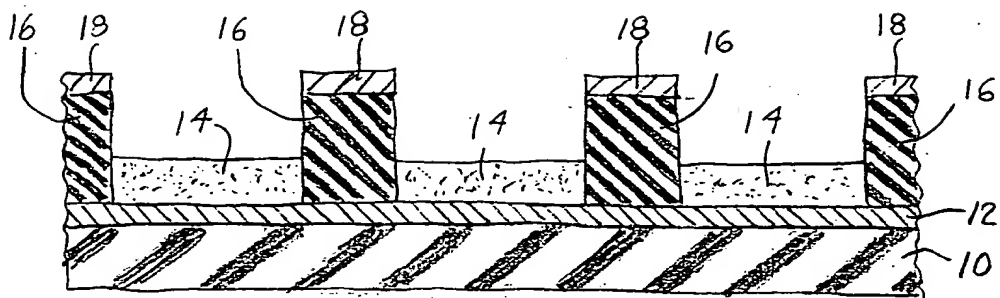
PRIOR  
ART

Fig. 2

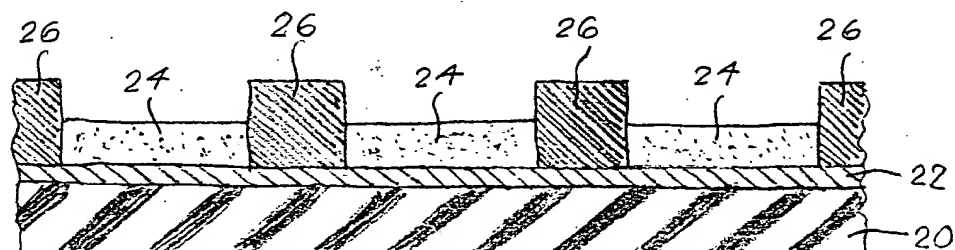
PRIOR  
ART

Fig. 3

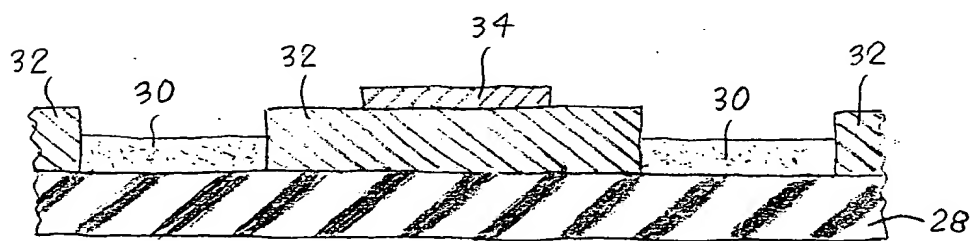
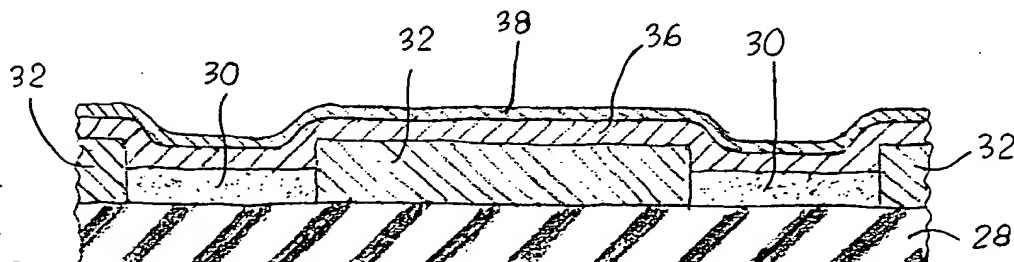
PRIOR  
ART

Fig. 4

PRIOR  
ART

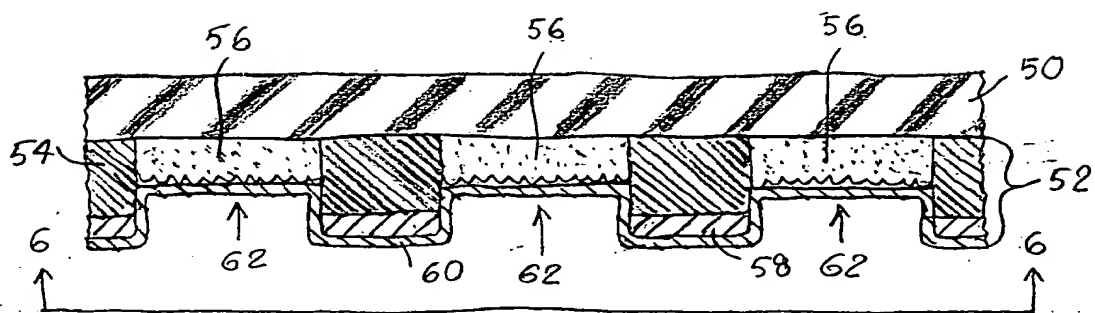
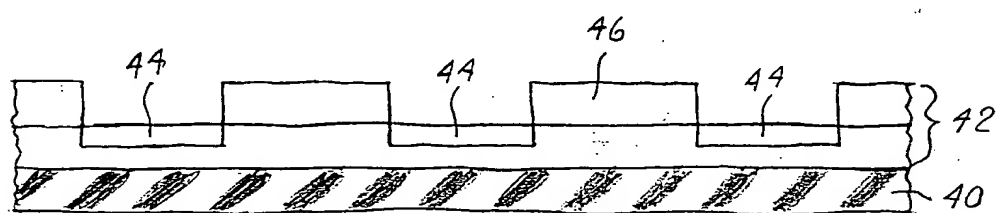


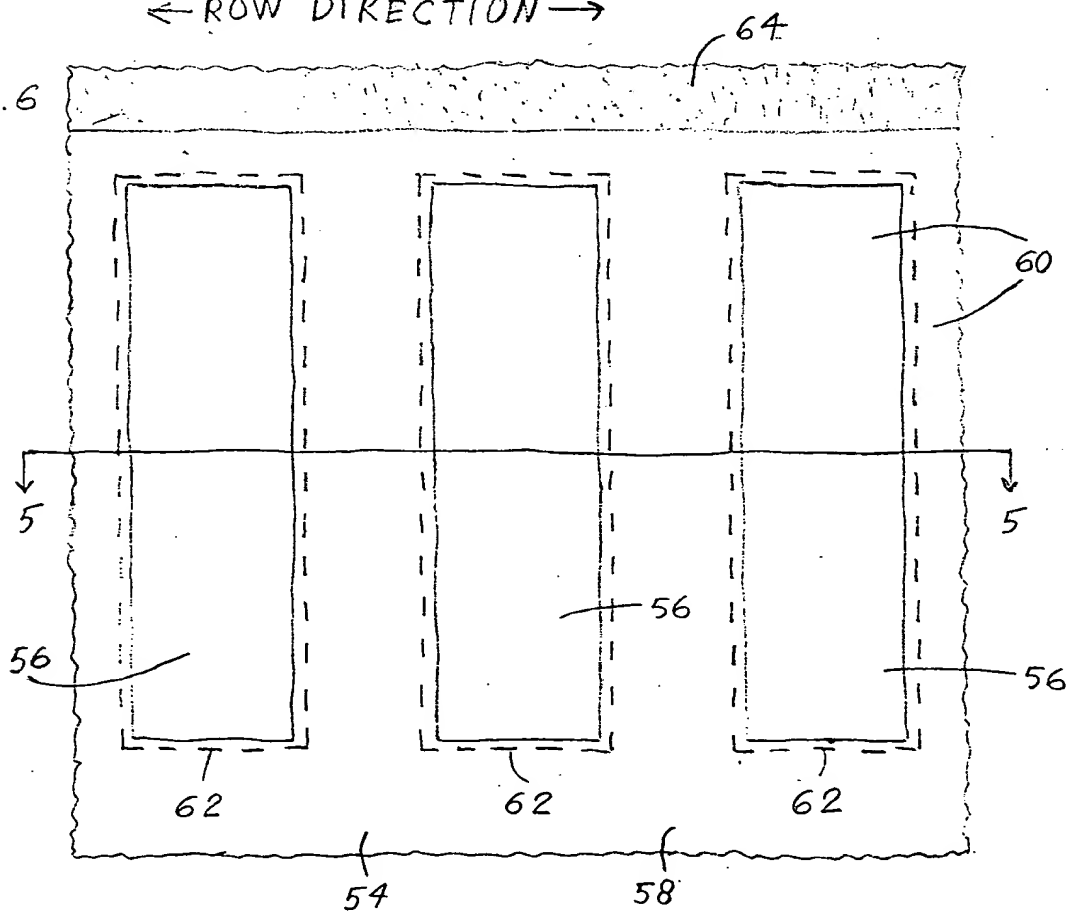
Fig. 5



← ROW DIRECTION →

Fig. 6

→ COLUMN DIRECTION →



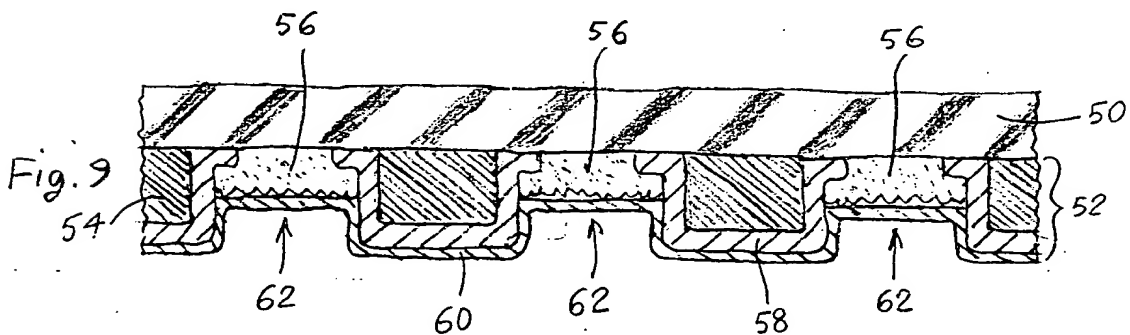
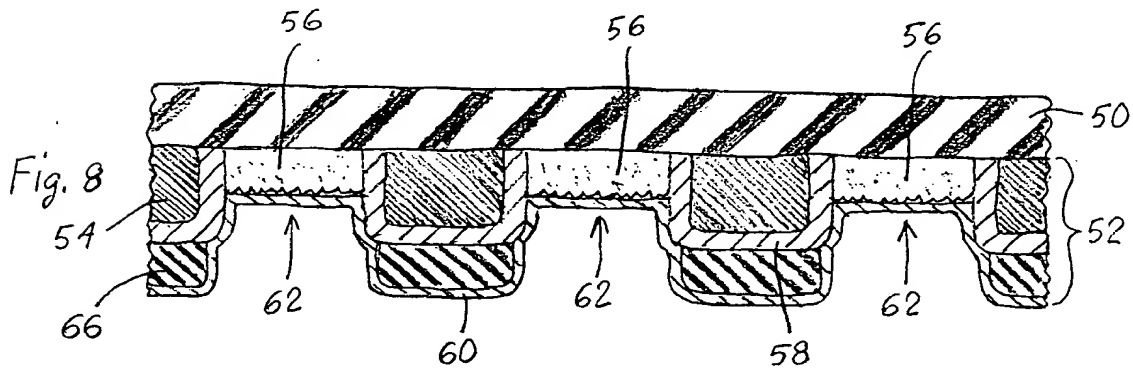
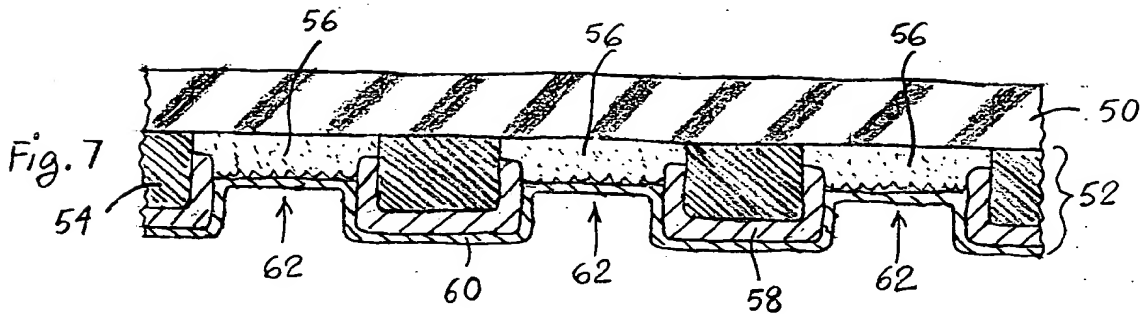
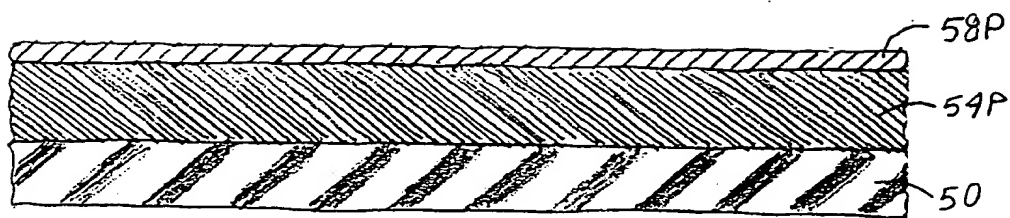
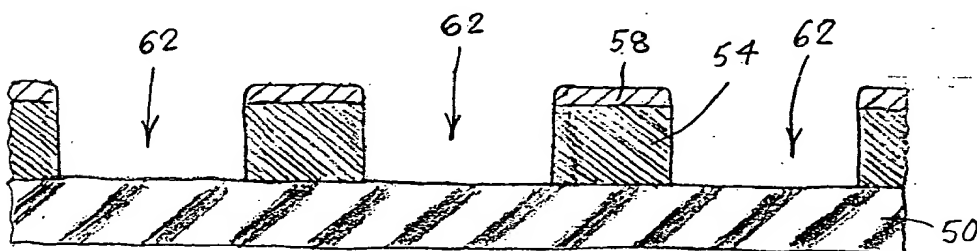
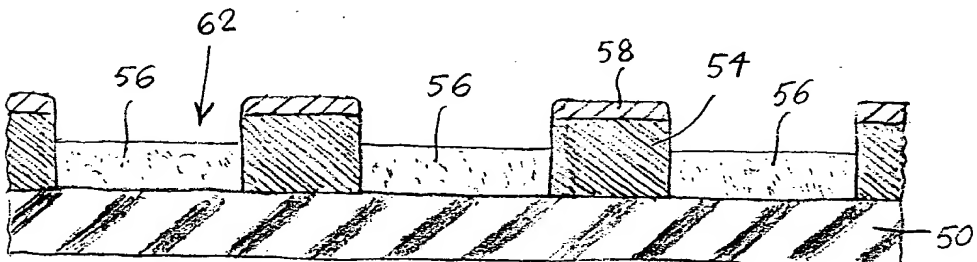
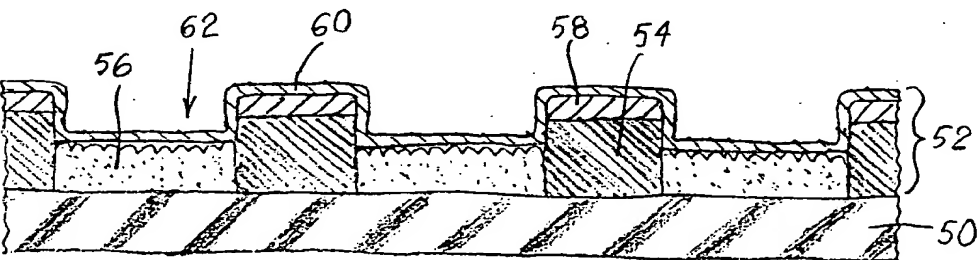
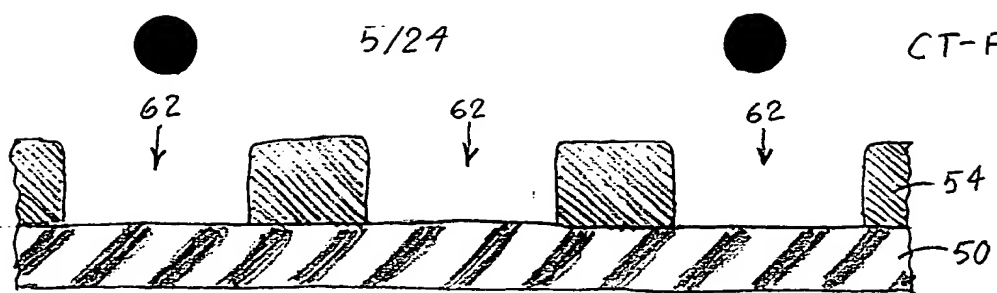
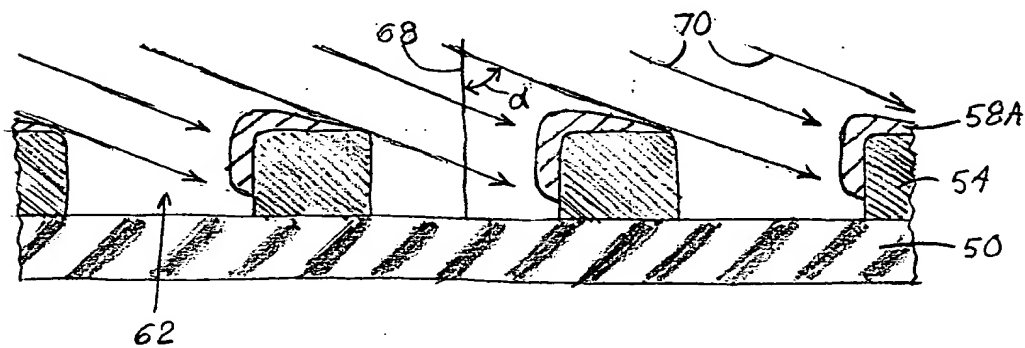
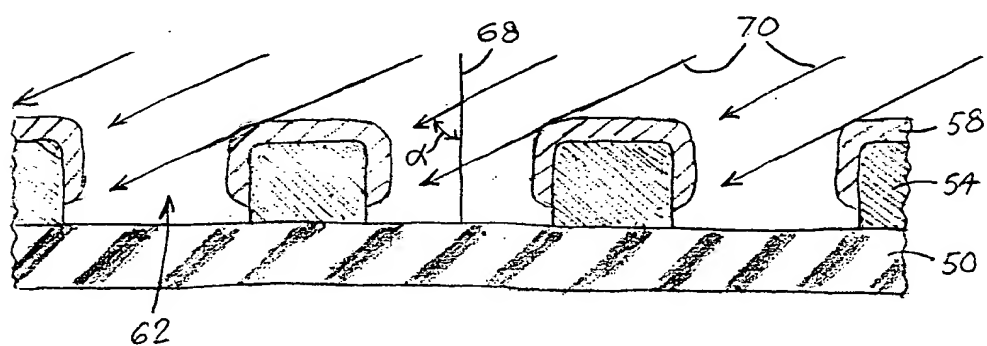
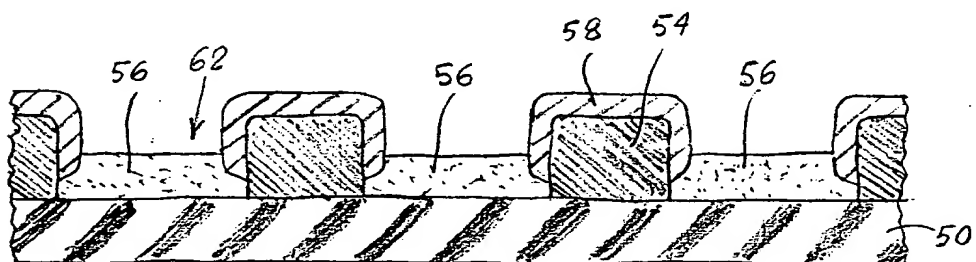
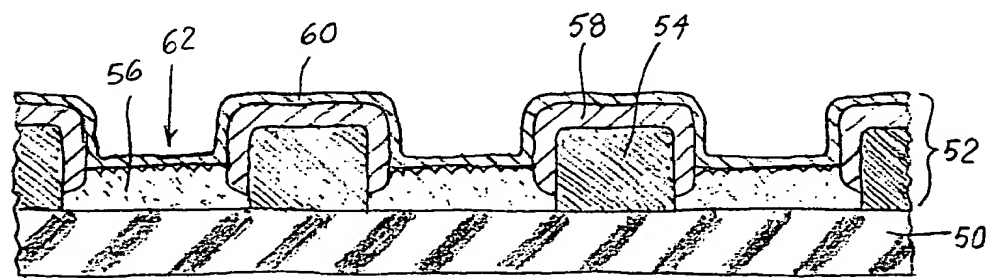


Fig.  
10aFig.  
10bFig.  
10cFig.  
10d

5/24

CT-F131

Fig.  
11aFig.  
11bFig.  
11cFig.  
11dFig.  
11e

0000000000 - 40022700

6/24

CT-F131

Fig.  
12a

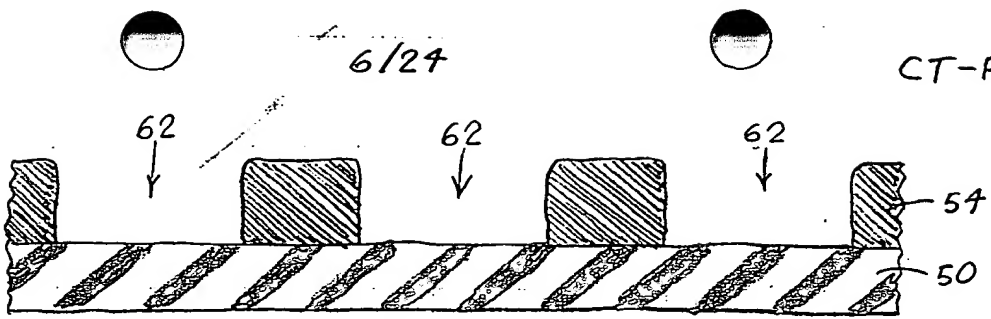


Fig.  
12b

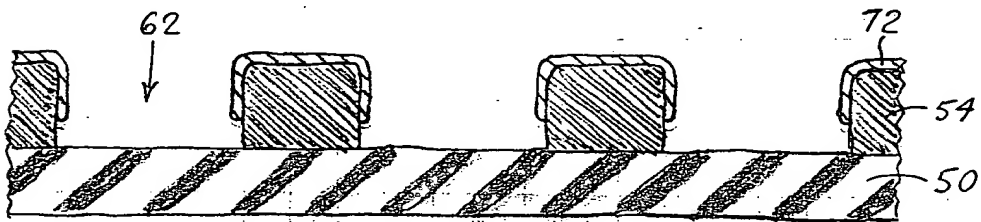


Fig.  
12c

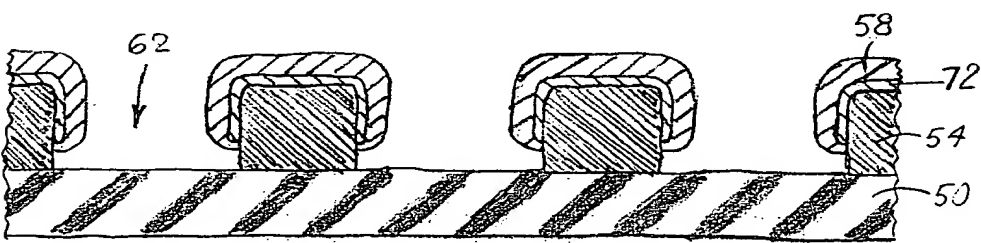


Fig.  
12d

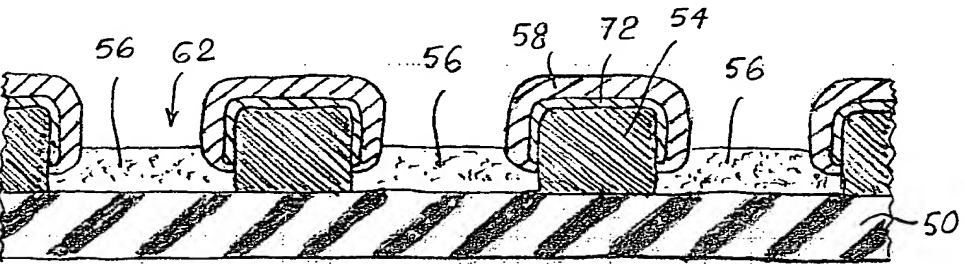
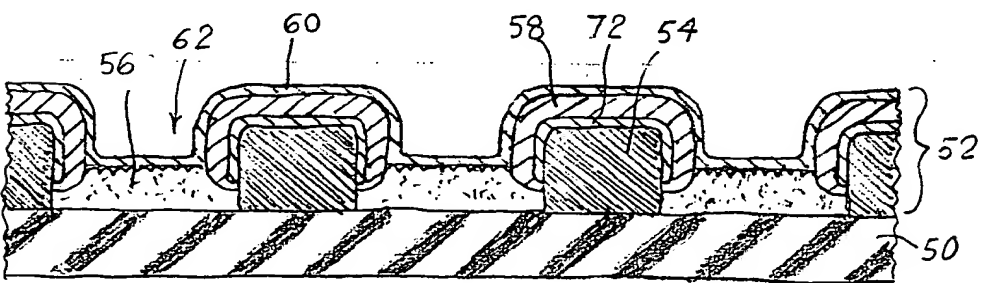


Fig.  
12e



00000000000000000000000000000000

7/24

CT-F131

Fig.  
13a

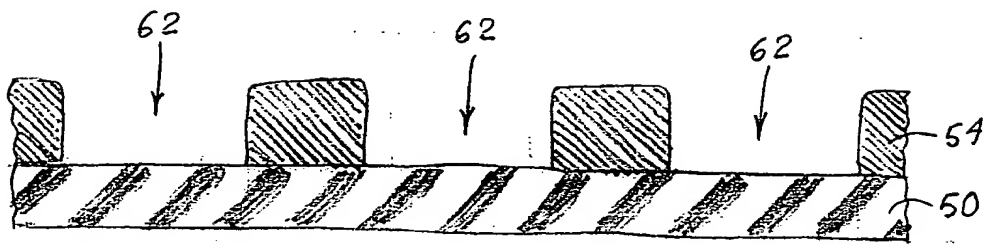


Fig.  
13b

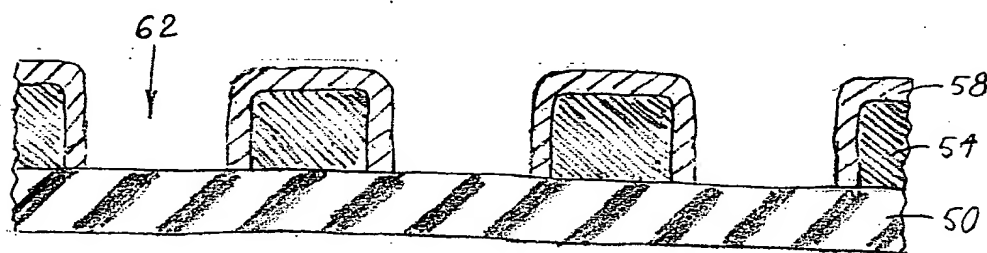


Fig.  
13c

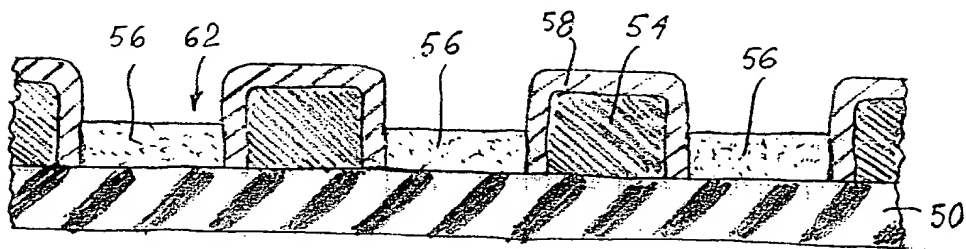
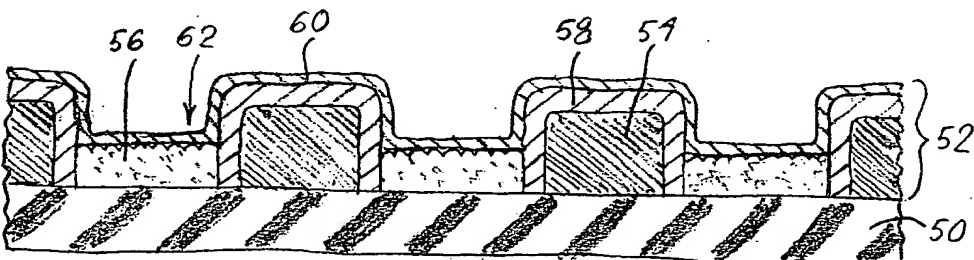


Fig.  
13d



8/24

CT-F131

Fig.  
14a

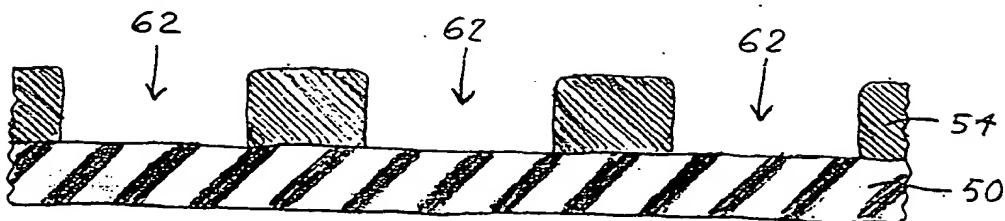


Fig.  
14b

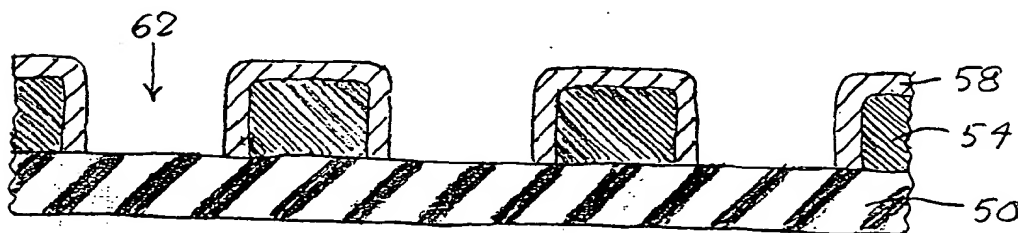


Fig.  
14c

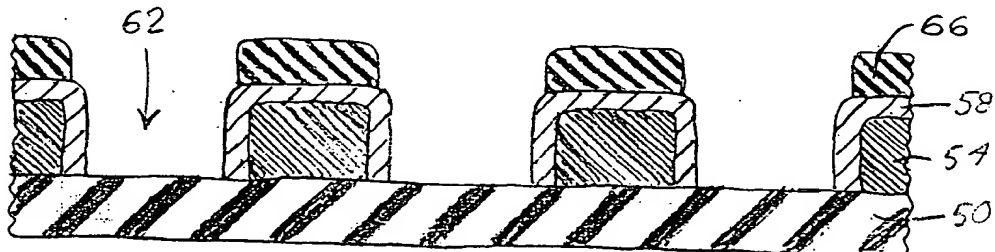


Fig.  
14d

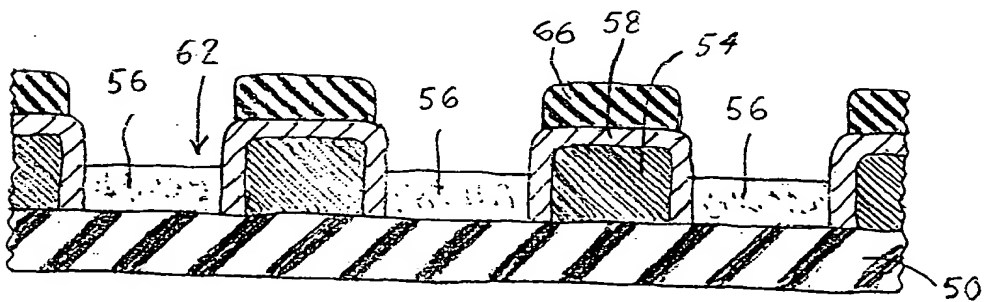
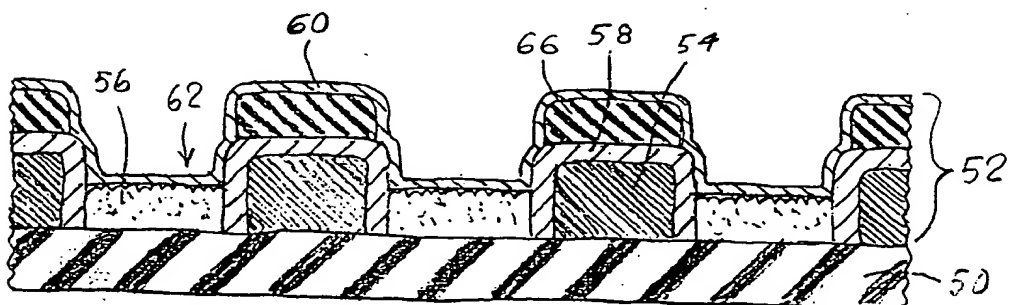


Fig.  
14e



0 955 925 925 - 4 023 700

9/24

CT-F131

Fig.  
15a

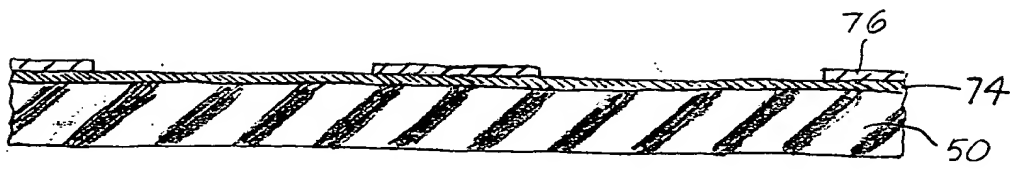


Fig.  
15b

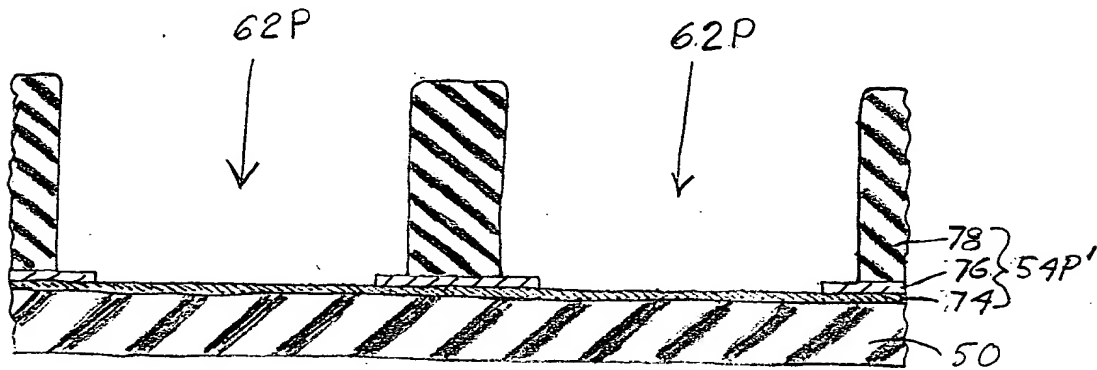


Fig.  
15c

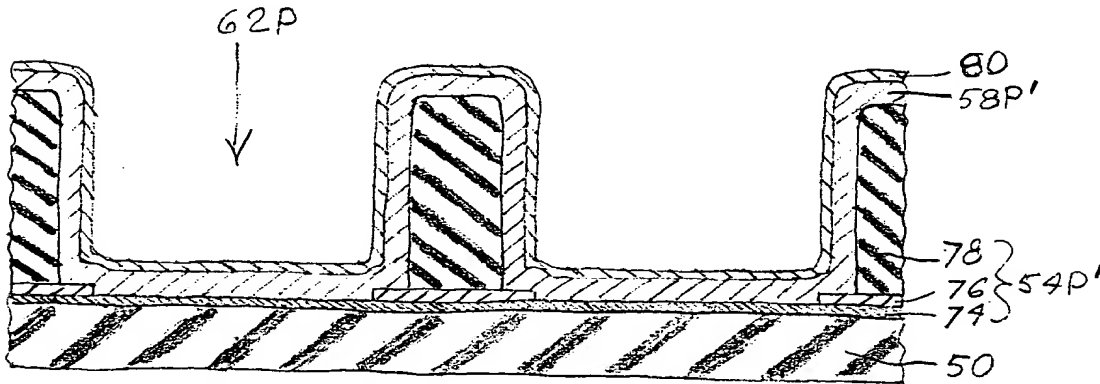
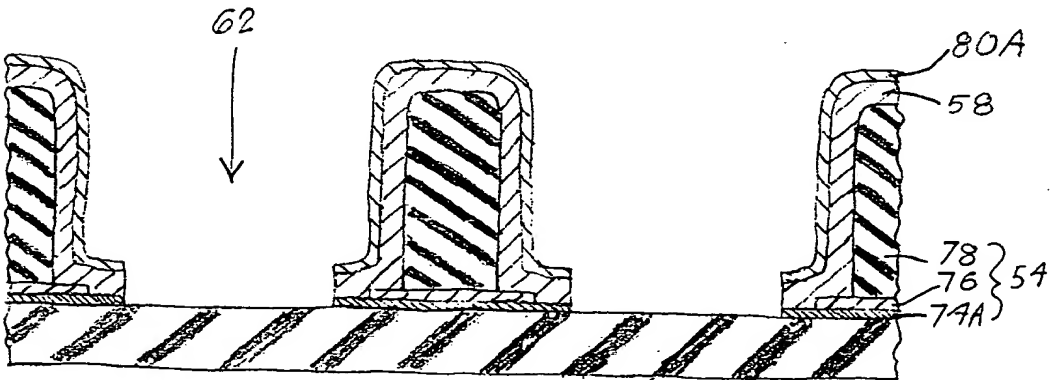


Fig.  
15d



10/24

CT-F131

Fig.  
15e

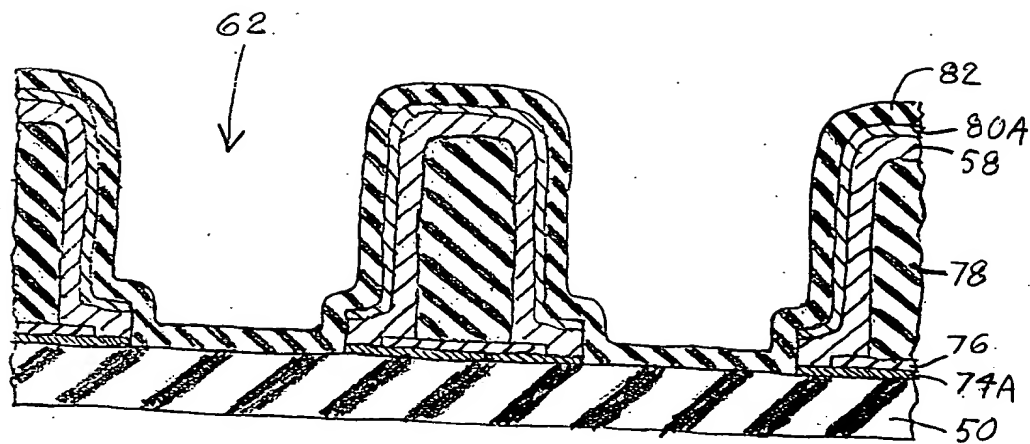


Fig.  
15f

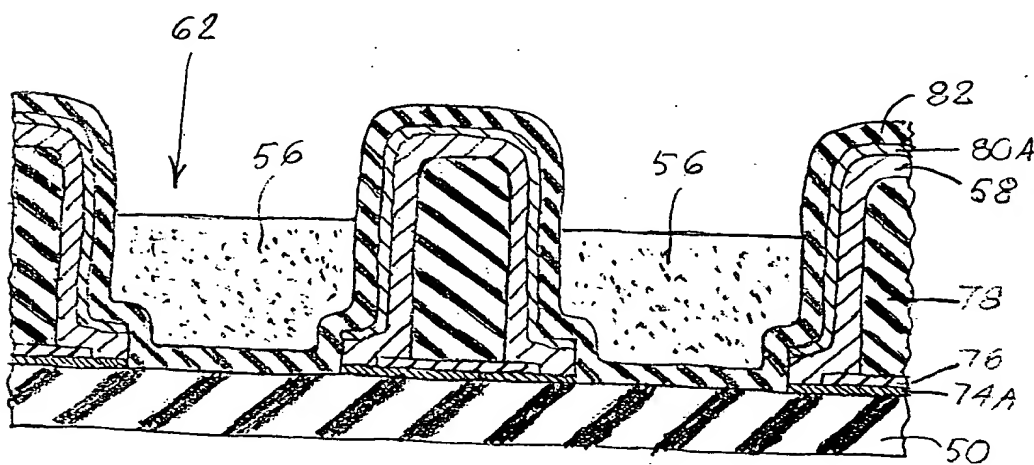
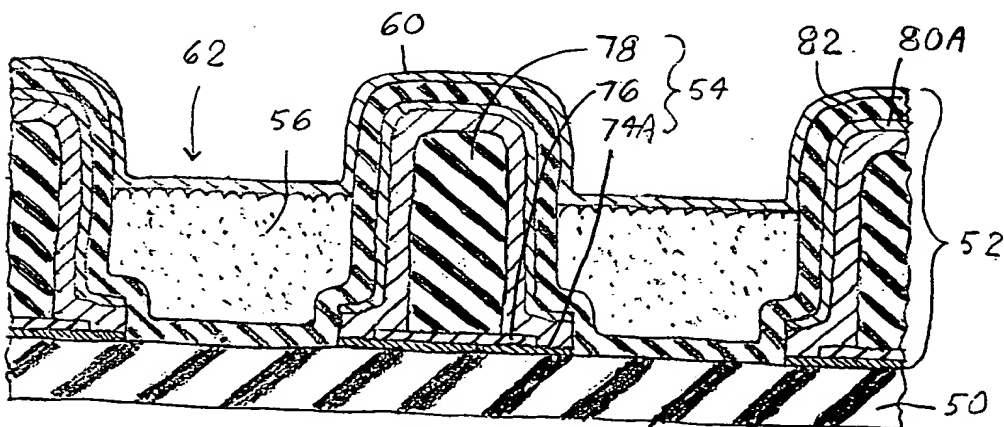


Fig.  
15g



01962005-1000000000

11/24

CT-F131

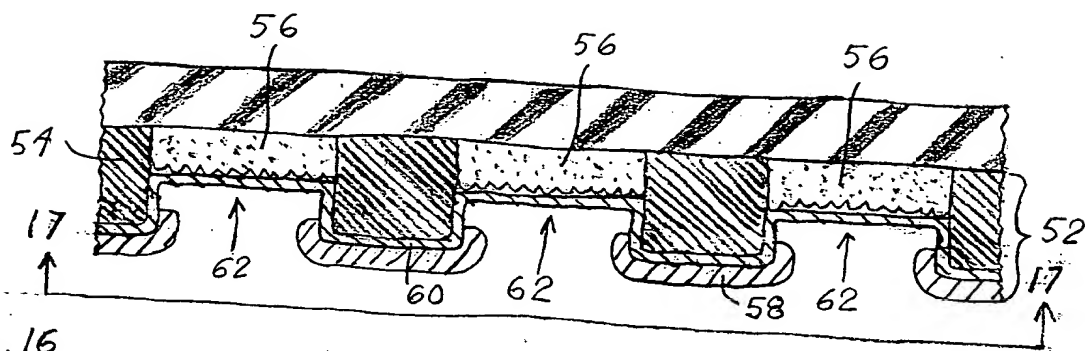
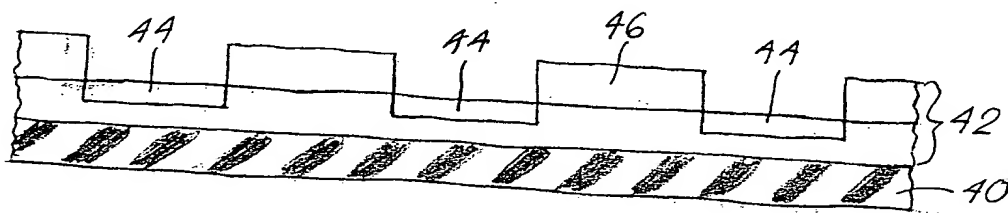
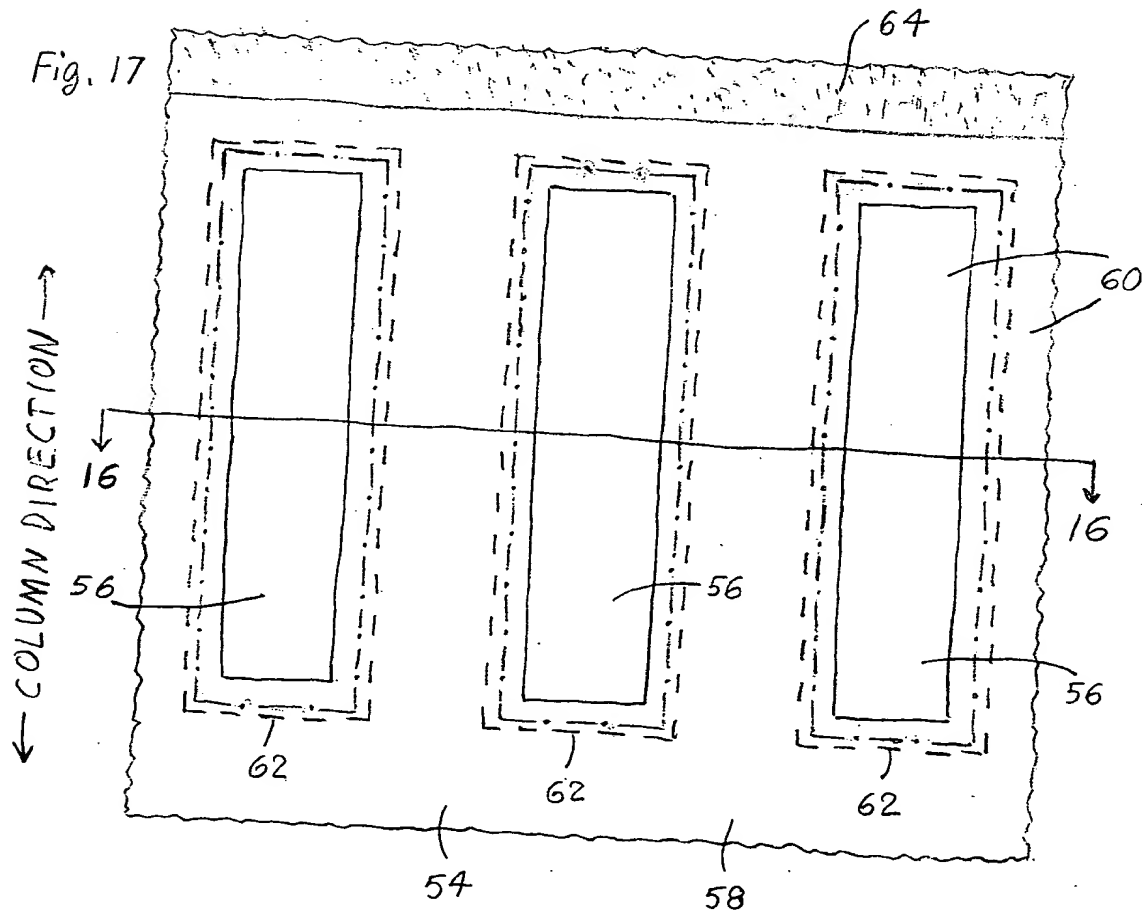


Fig. 16



← ROW DIRECTION →

Fig. 17



← COLUMN DIRECTION →

PROCESSED BY SCS 2024

12/24

CT-F131

Fig.  
18a

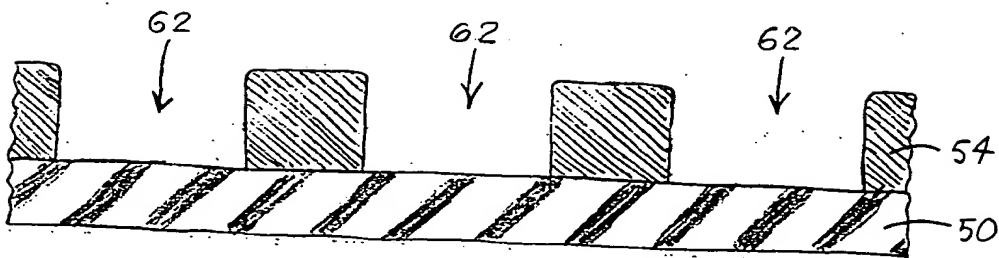


Fig.  
18b

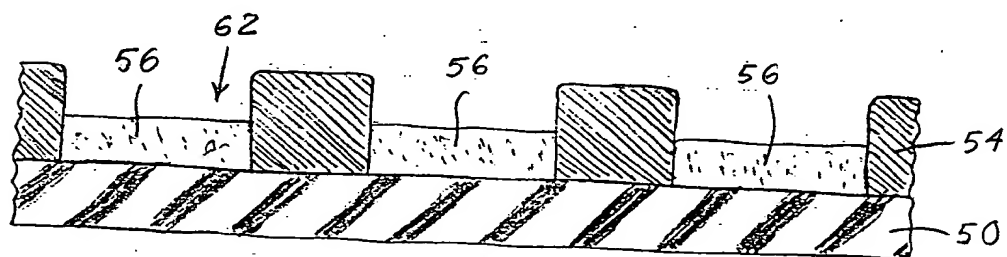


Fig.  
18c

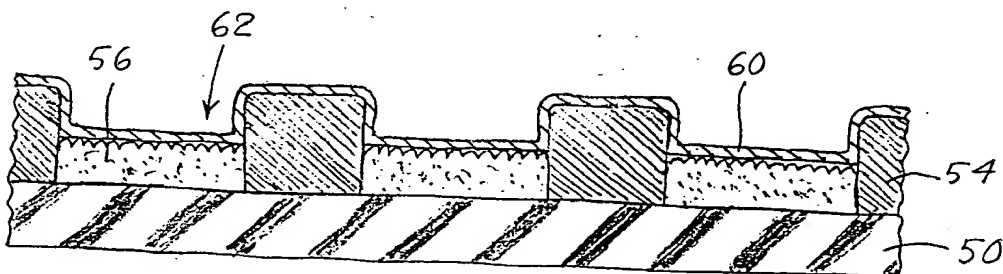


Fig.  
18d

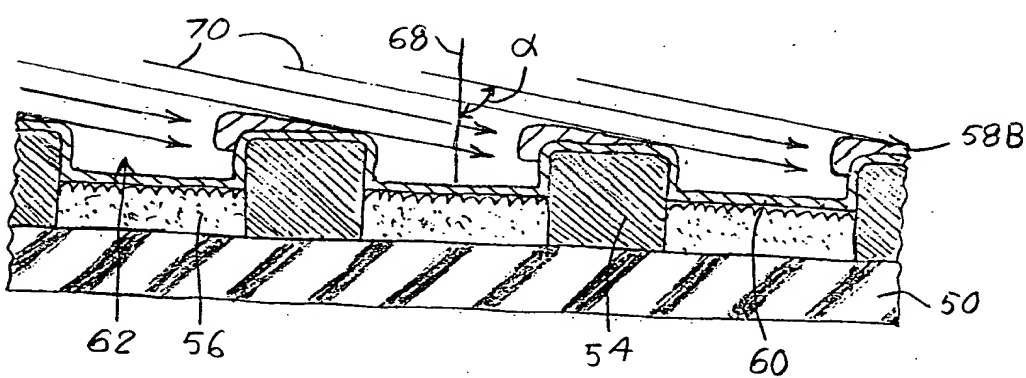
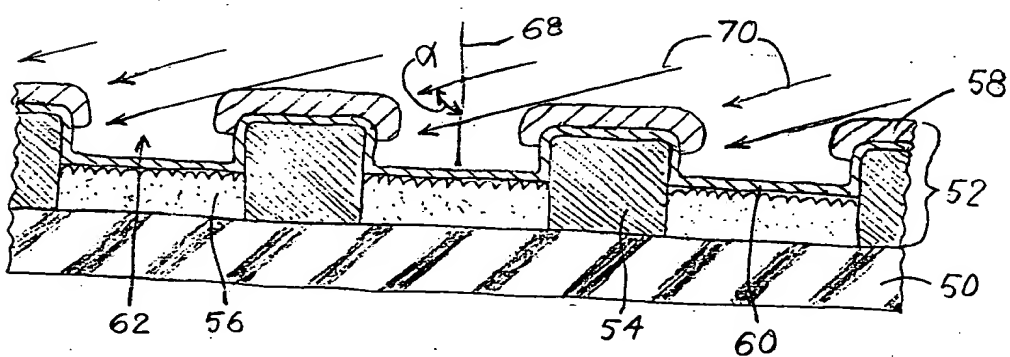


Fig.  
18e



009626696 - 4022700

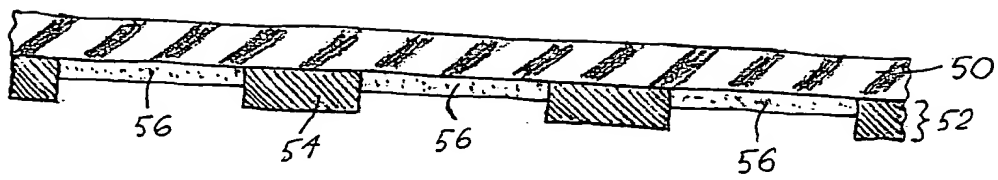


Fig. 19

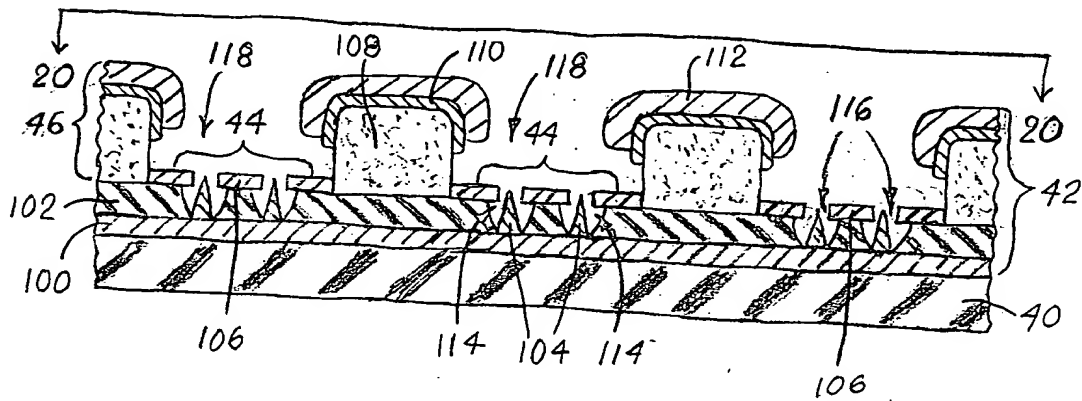
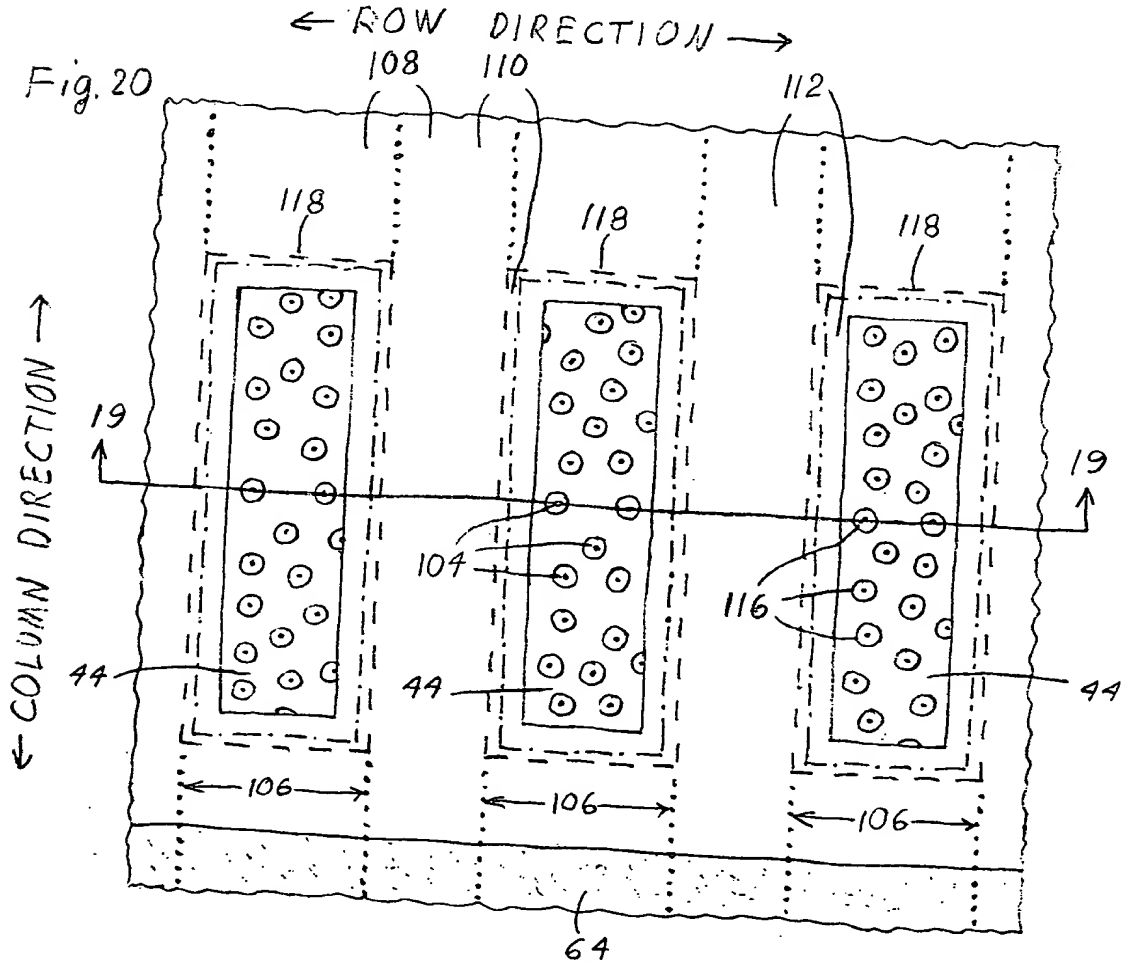


Fig. 20



096966955-40022700

14/24

CT-F131

Fig. 21

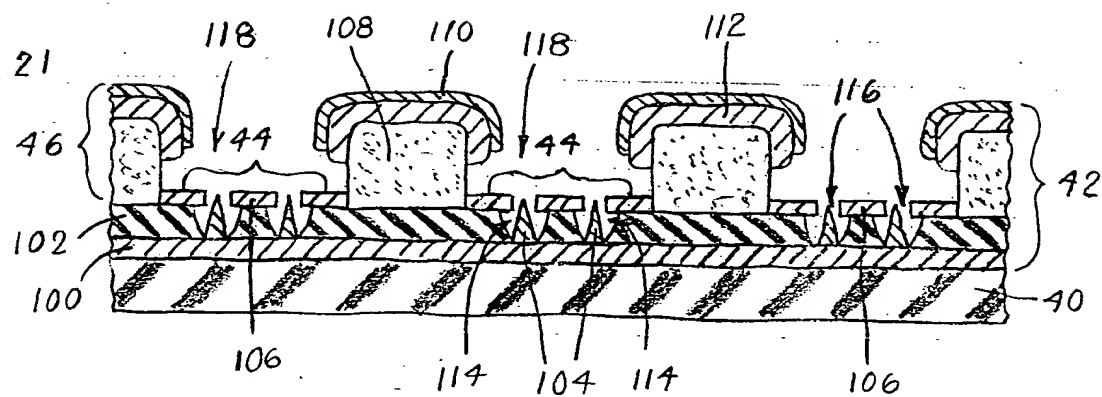
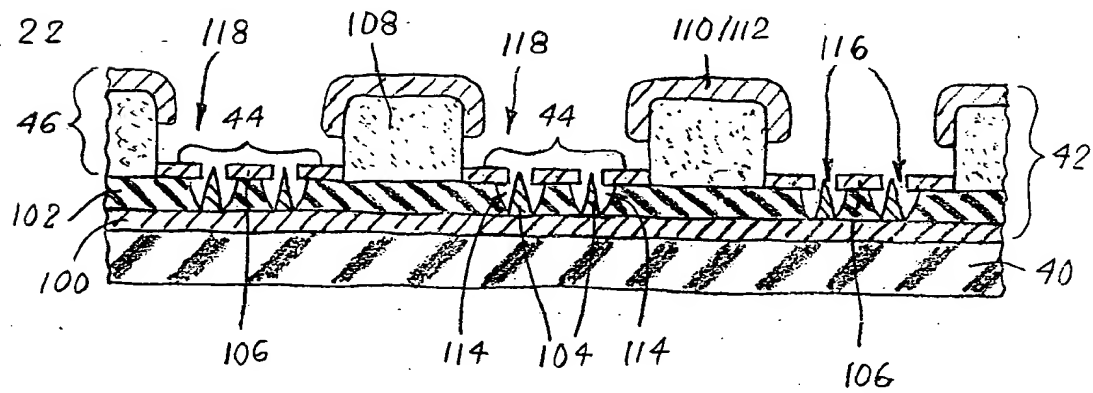
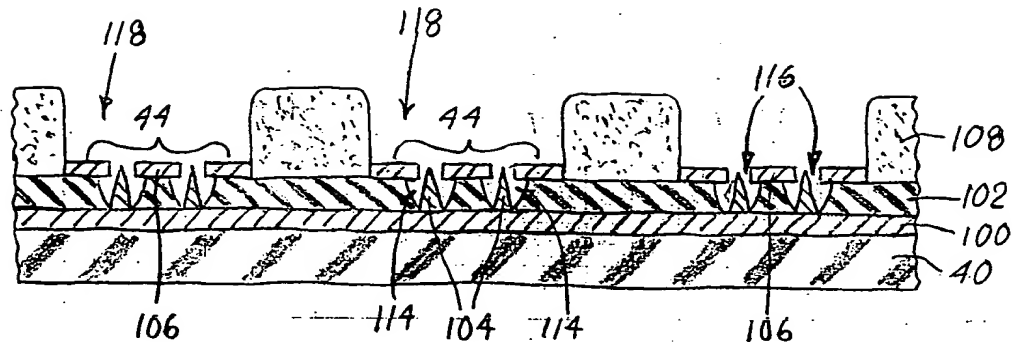
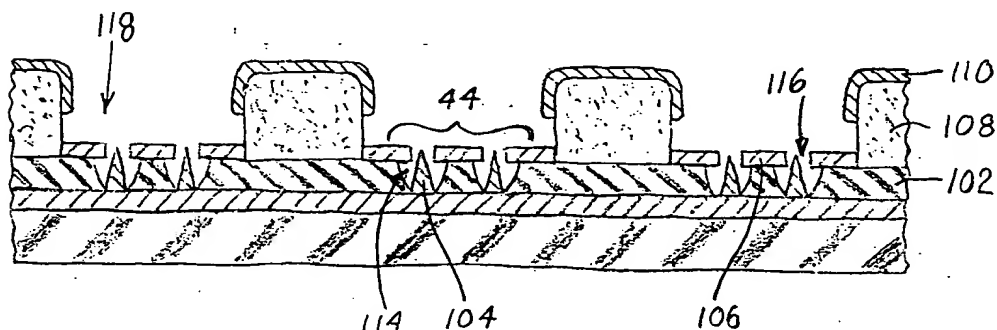
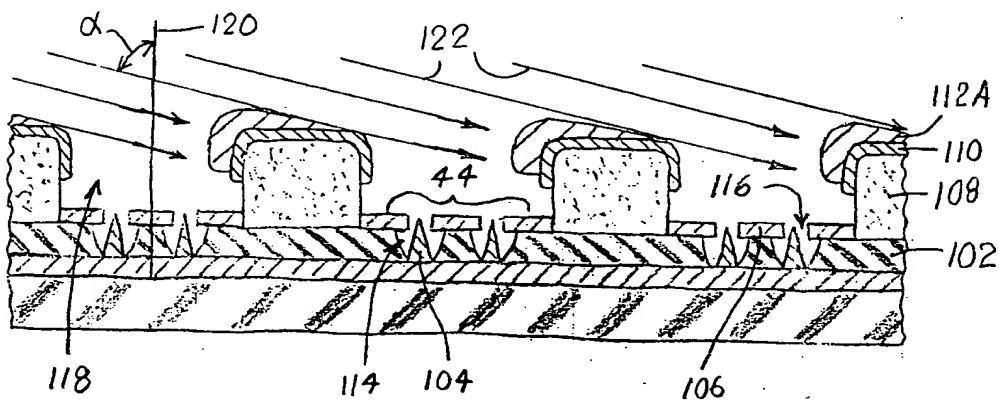
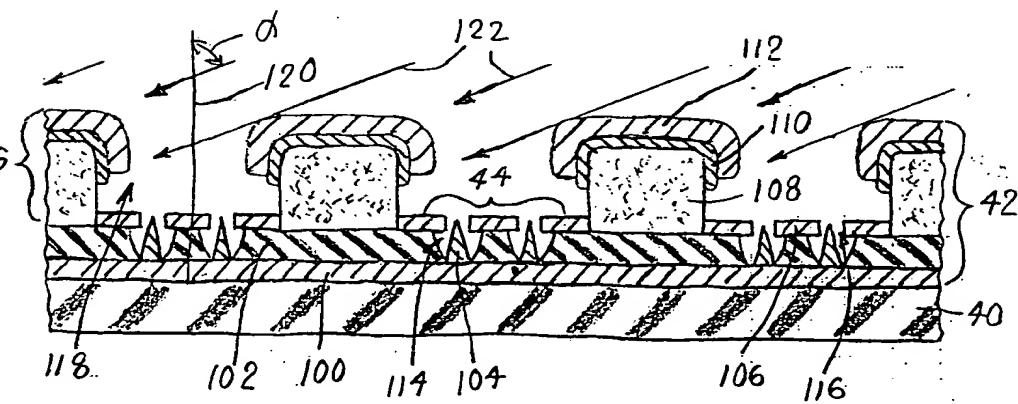


Fig. 22



0096295955 4002270000

Fig.  
23aFig.  
23bFig.  
23cFig.  
23d

16124

CT-F131

Fig.  
24a

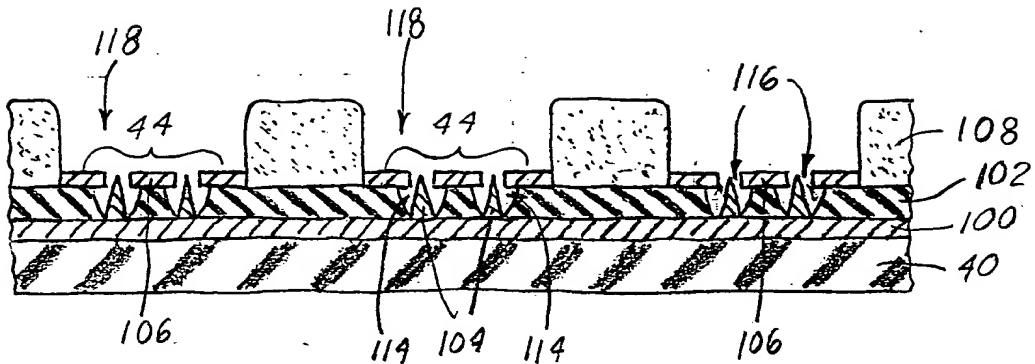


Fig.  
24b

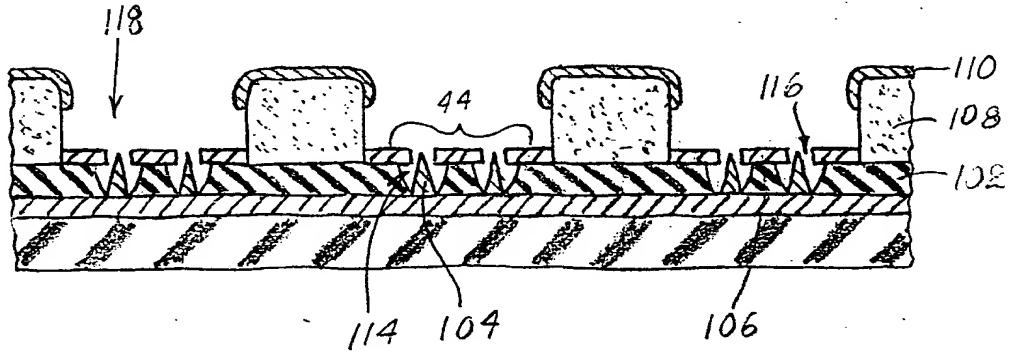
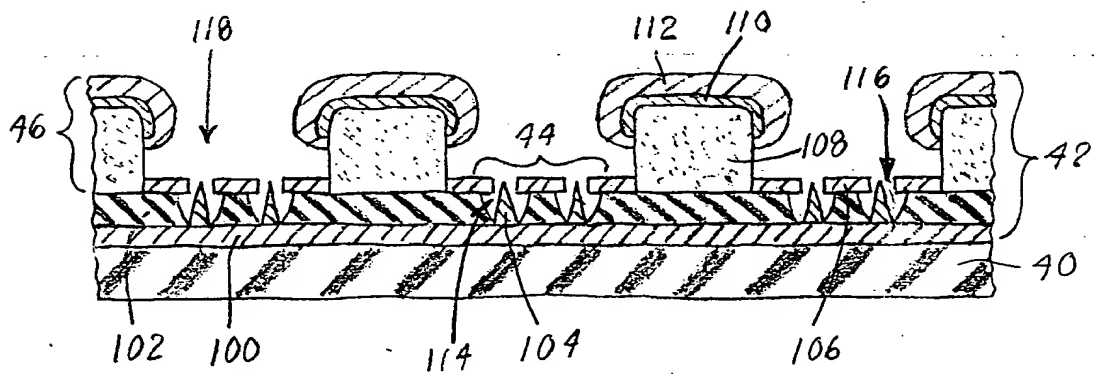


Fig.  
24c



09698556 462200

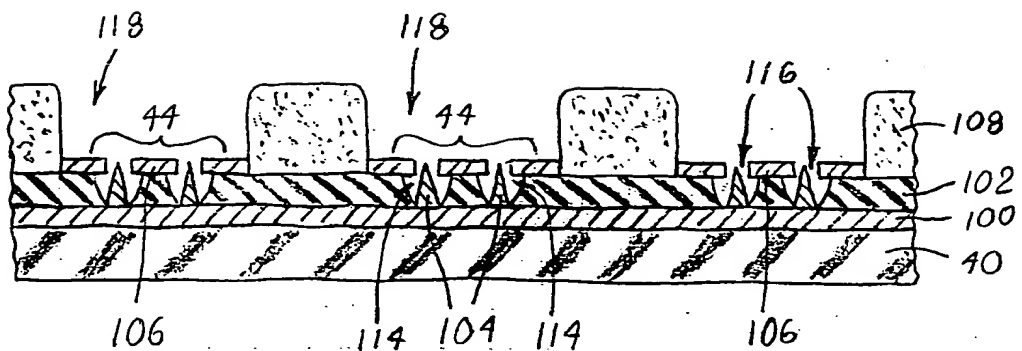
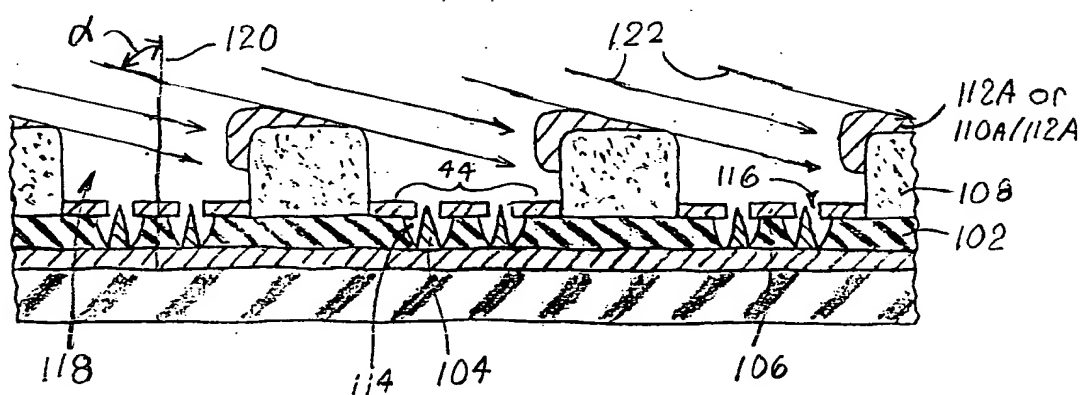
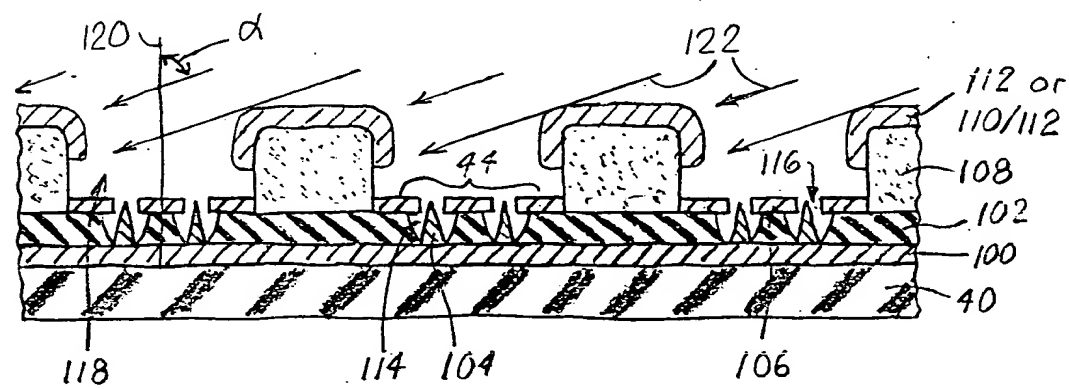
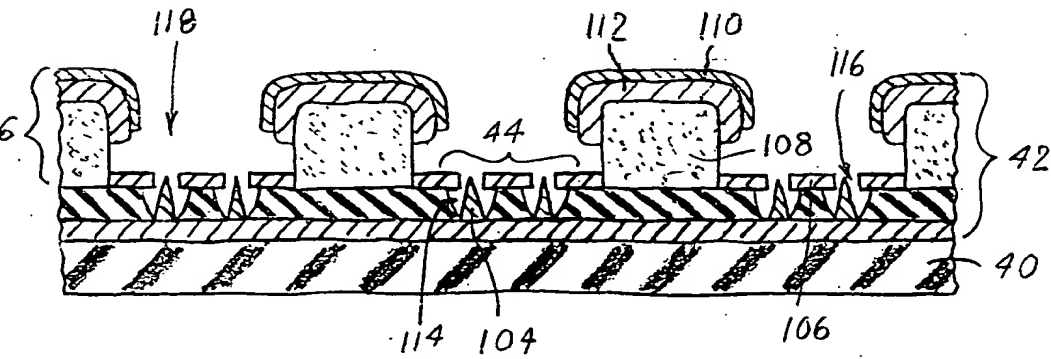
Fig.  
25aFig.  
25bFig.  
25cFig.  
25d

Fig. 26

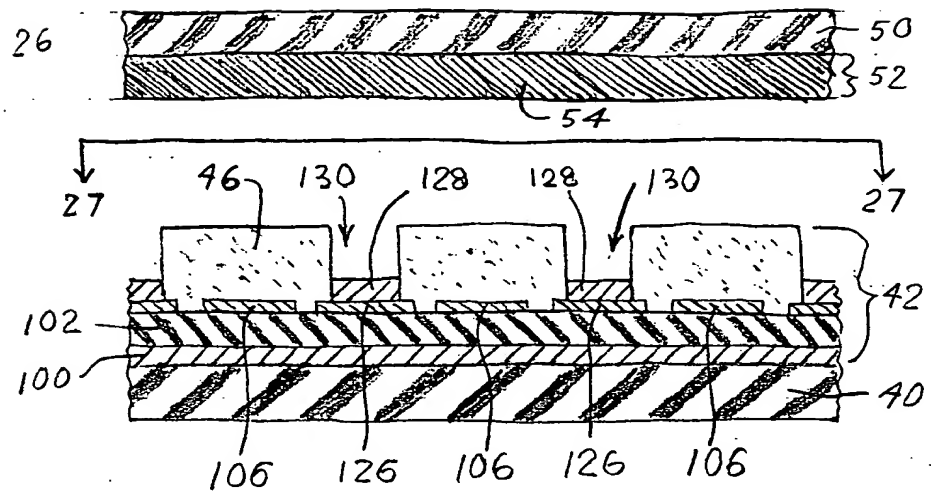
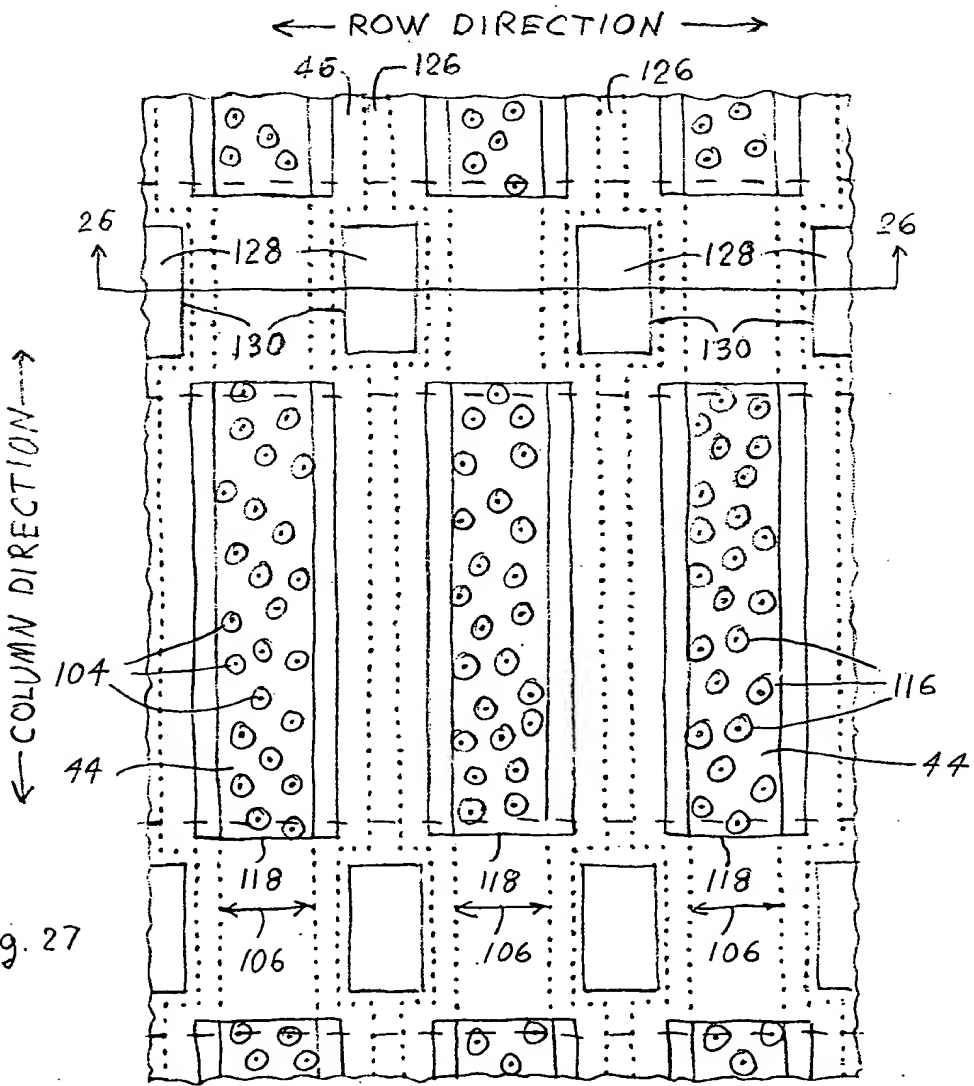


Fig. 27



002201-26966960

Fig. 28

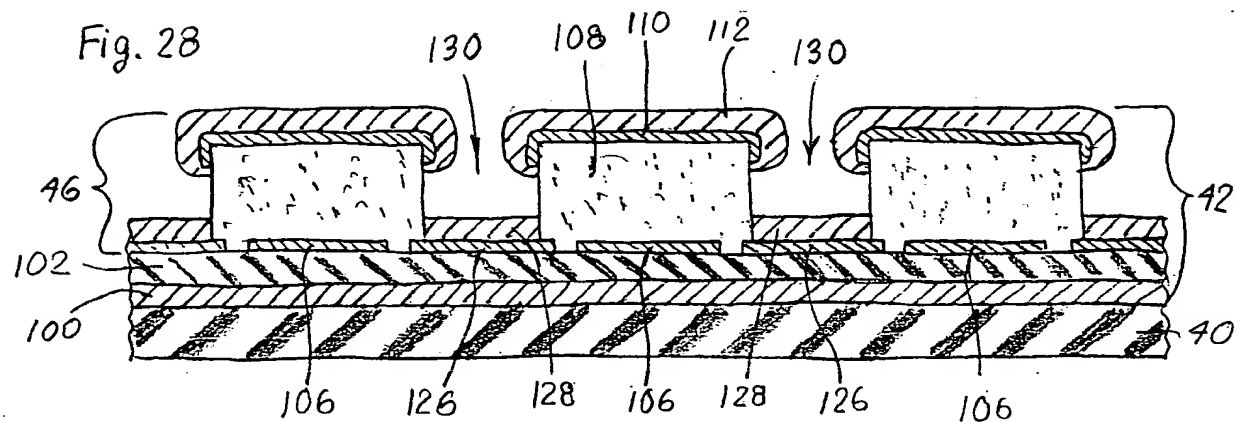


Fig. 29a

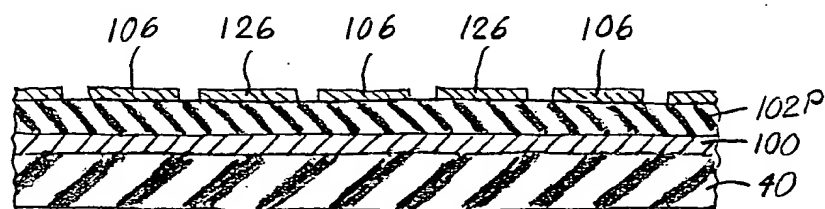


Fig. 29b

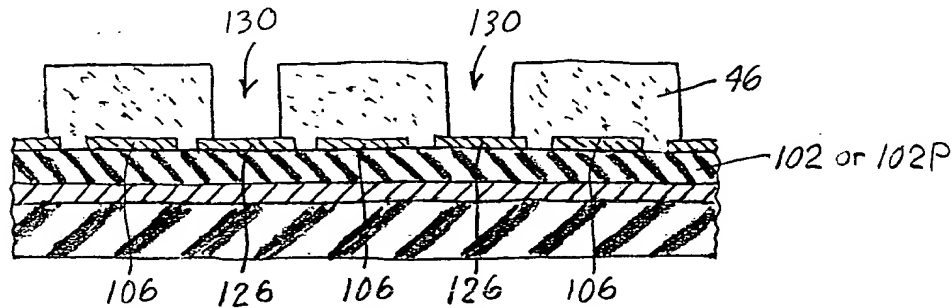
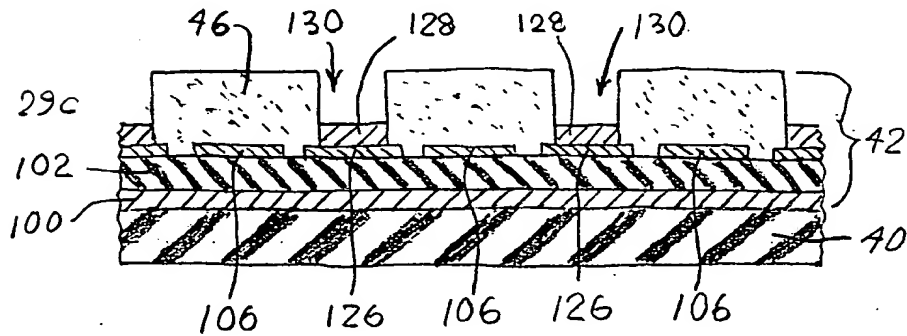


Fig. 29c



20/24

CT-F131

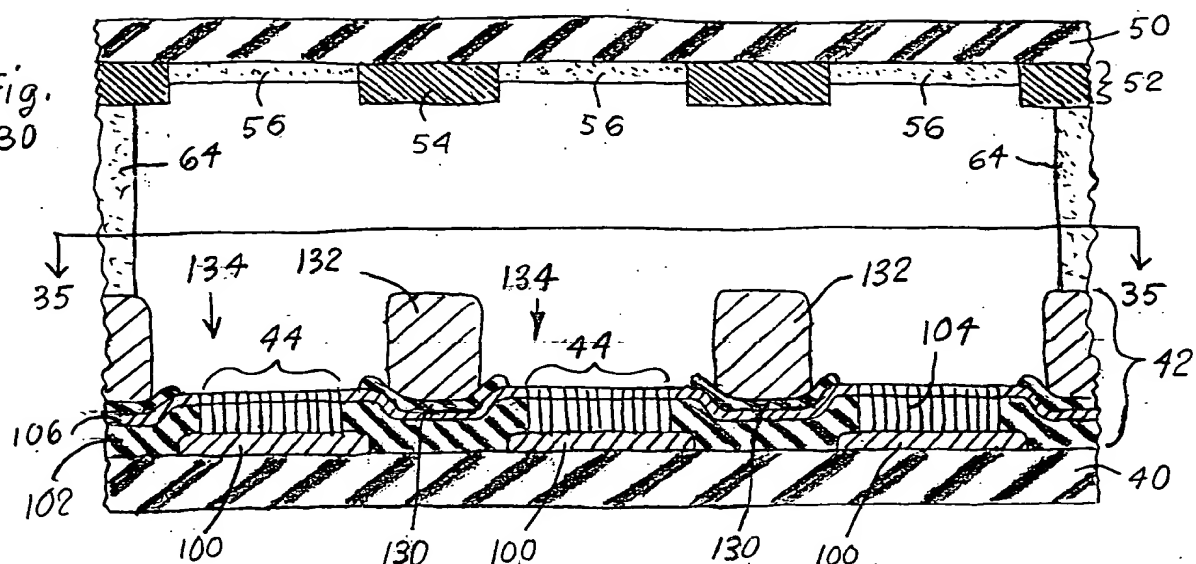
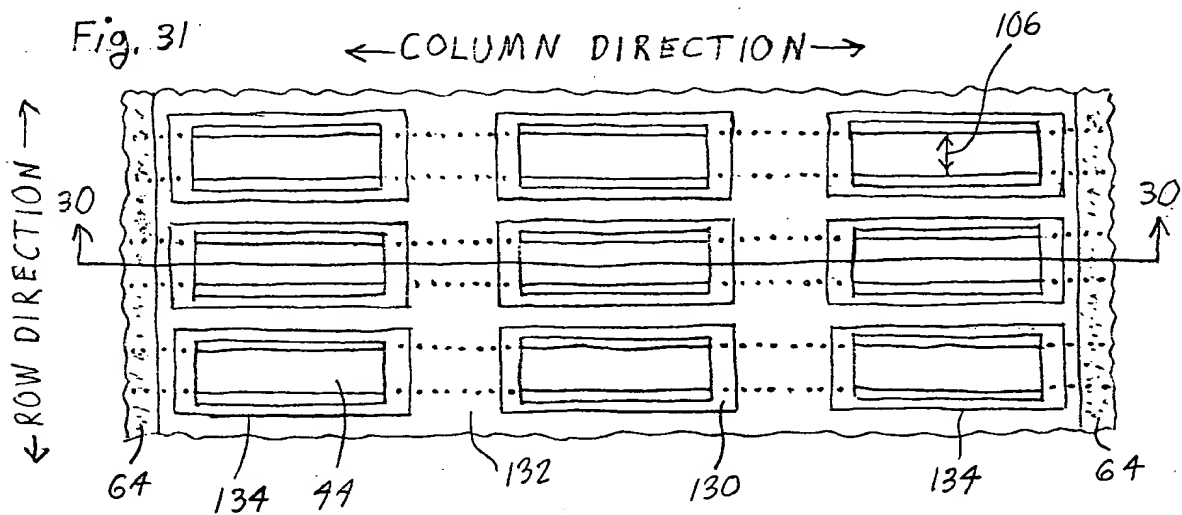
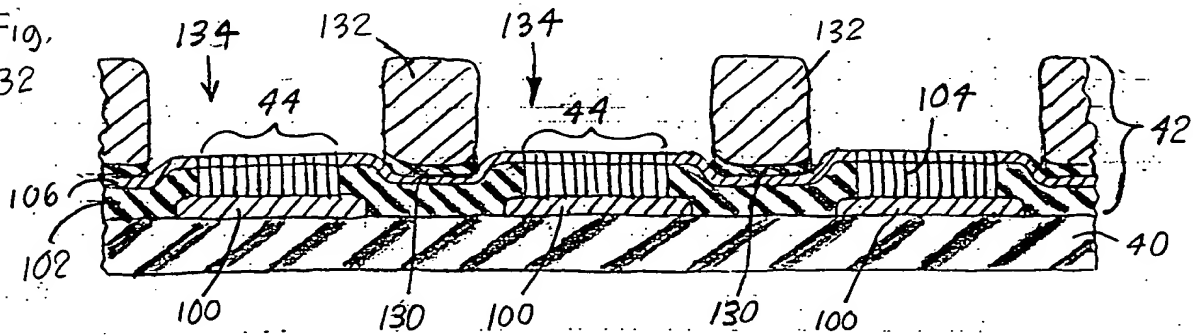
Fig.  
30

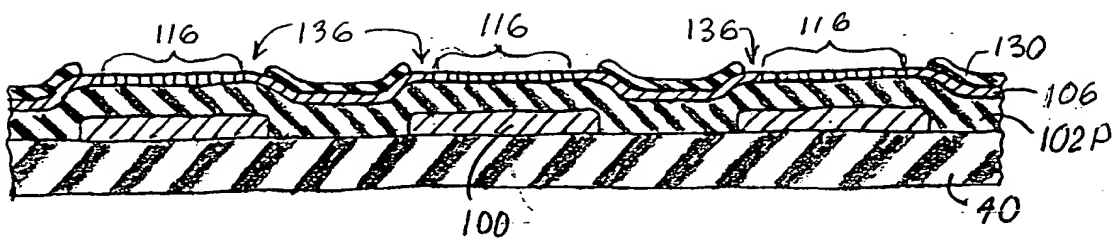
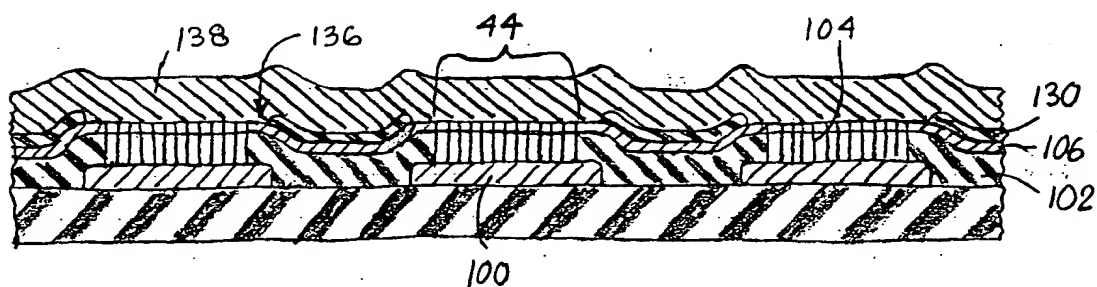
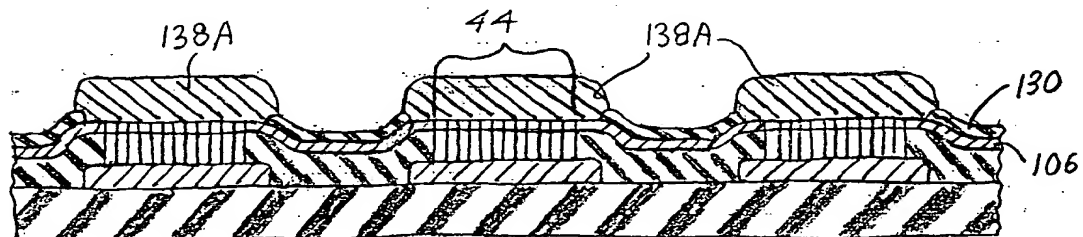
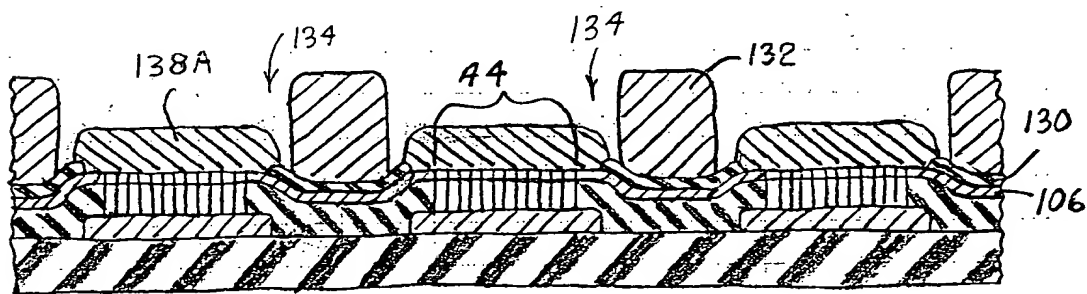
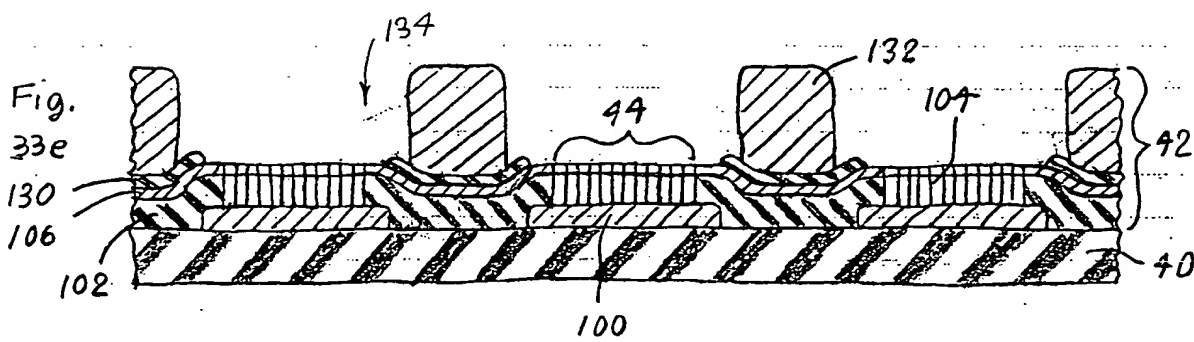
Fig. 31

←COLUMN DIRECTION→

Fig.  
32

21/24

C 1 - 1 - 151

Fig.  
33aFig.  
33bFig.  
33cFig.  
33dFig.  
33e

00000000000000000000000000000000

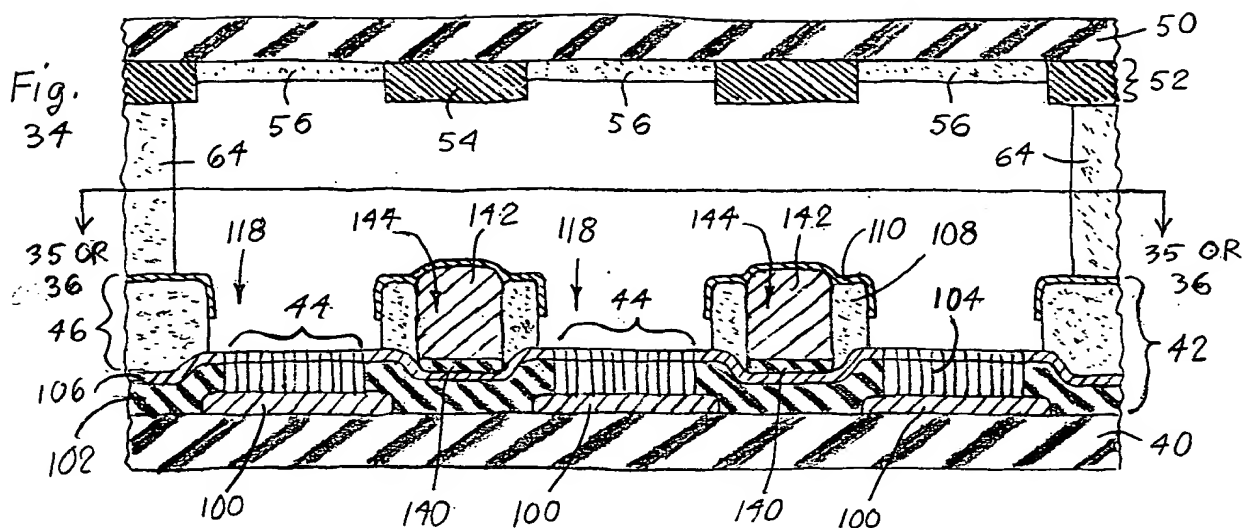
Fig.  
34

Fig. 35

← COLUMN DIRECTION →

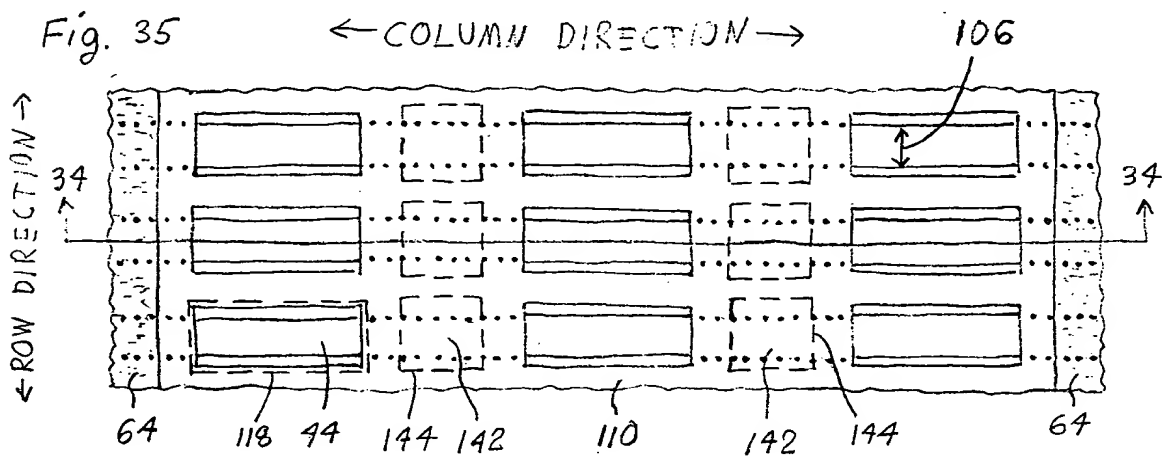


Fig. 36

← COLUMN DIRECTION →

